

تأثیر کبات بر ویژگی‌های ساختاری، ریزساختاری و مغناطیسی نانوذرات

فریت منیزیم-روی

نوع مقاله: علمی پژوهشی

معصومه قادری^۱، حامد بحیرائی^{*}^۱، خلیل‌الله قیصری^۲^۱ گروه فیزیک، دانشکده علوم پایه، دانشگاه ملایر^۲ گروه مهندسی مواد، دانشکده مهندسی، دانشگاه شهید چمران اهواز

* hamedbahiraei@gmail.com

چکیده:

نانوساختارهای ترکیب فریتی $Mg_{0.5-x}Co_xZn_{0.5}Fe_2O_4$ با مقادیر آلاش $x=0.005, 0.01, 0.05, 0.15$ و با استفاده از روش سل-زل خود احتراقی تهیه شدند. پودرهای تهیه شده به صورت حلقه پرس شدند و تحت عملیات حرارتی در دمای 900°C به مدت ۴ ساعت قرار گرفتند. ویژگی‌های ساختاری، ریزساختاری و مغناطیسی پودرهای تهیه شده توسط پراش پرتو X (XRD)، بیناب سنگی پرتوایکس (EDAX) و مغناطیسی سنج (VSM) مورد بررسی قرار گرفت. نفوذپذیری مغناطیسی حلقه‌های تف‌جوشی شده با استفاده از دستگاه LCR meter بررسی شد. الگوی پراش پرتو X نمونه‌ها نشان داد که همه‌ی پودرهای تهیه شده دارای ساختار بلوری اسپینلی هستند و هیچ‌گونه فاز تاکالصی در آن‌ها وجود ندارد. اندازه رینزیلوک‌ها با استفاده از رابطه‌ی شر بین $36\text{ nm}-76\text{ nm}$ به دست آمد. با استفاده از تصاویر میکروسکوپ الکترونی میانگین اندازه‌ی ذرات پودرها بین $43\text{ nm}-66\text{ nm}$ به دست آمد. آنالیز مغناطیس استانیکی مشخص کرد که حضور یون‌های کبات بر مغناطیش اشباع (Ms) و میدان واکرنده (Hc) تأثیرگذار بوده است و مقادیر Ms با افزایش میزان آلاش $x=0.10$ و کاهش و سپس افزایش یافته‌اند. کمترین Ms مربوط به نمونه‌ی $x=0.10$ برابر با $16/5 \text{ emu/g}$ و بیشترین مقدار مربوط به $x=0.15$ برابر با $39/6 \text{ emu/g}$ است. محاسبه کچشیدگی گشتاور مغناطیسی (زاویه یافت-کیل) نمونه‌ها نشان داد که بیشترین میزان کچشیدگی اسپینلی مربوط به نمونه با $x=0.10$ می‌باشد. مقایسه میدان واکرنده نمونه‌ها نشان داد که به دلیل ناهمسانگردی بلوری کبات، با افزایش میزان آلاش x مقدار Hc به صورت پیوسته افزایش می‌یابد. نتایج نفوذپذیری مغناطیسی حلقه‌های تف‌جوشی شده نشان داد که نمونه با $x=0.15$ دارای بیشترین نفوذپذیری است.

اطلاعات مقاله:

دریافت: ۲۱ مهر ۱۳۹۹

پذیرش: ۲۲ فروردین ۱۴۰۰

صفحه ۶۱ تا صفحه ۴۸

در دسترس در نشانی:

www.ijcse.ir

زبان نشریه: فارسی

شماره ۲۳۲۲-۲۲۵۲

شاپا الکترونیکی:

۲۷۸۳-۳۰۰۳

کلیدواژه:

نانوساختار، سل-زل، فریت،

مغناطیش اشباع، واکرنگی،

مدل یافت-کیل.

کد:DOR

20.1001.1.23222352.1400.10.0.6.9

بیوتکنولوژی، مهندسی مواد و محیط‌زیست به خود اختصاص داده‌اند که تولید قطعات مغناطیسی با کیفیت‌تر و بسیار

کوچک‌تر از جمله دستاوردهای آن‌ها است [۲-۱].

امروزه، نانوذرات مغناطیسی کاربردهای مهمی در زمینه‌های

۱- مقدمه

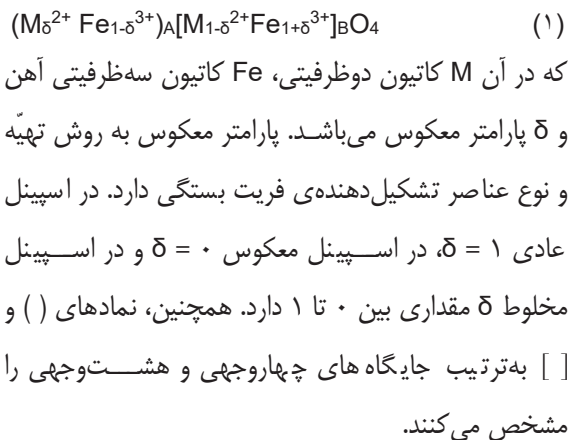


انرژی منفی این برهمنش یک نظم پادفرومغناطیسی بین گشتاورهای مغناطیسی ایجاد می‌کند؛ به طوری که گشتاور مغناطیسی کل (n_B) از برایند گشتاور مغناطیسی مکان‌های هشت‌وجهی (M_B) و چهار‌وجهی (M_A) به صورت زیر به دست می‌آید [۸]:

$$n_B (\mu_B) = M_B - M_A \quad (2)$$

از آن‌جا که مدل ساده نیل در توجیه رفتار مغناطیسی برخی فریت‌ها ناتوان بود، مدل پی‌شرفت‌تر یافت و کیتل^۴ ارائه شد که به‌طور نظری پایداری حالت پایه‌ی نظم مغناطیسی در فریت‌ها را بررسی می‌کرد. در این مدل علاوه‌بر برهمنش بین زیر شبکه‌ای J_{AB} سهم انرژی دو برهمنش ضعیف درون زیر شبکه‌ای J_{BB} و J_{AA} نیز در محاسبات در نظر گرفته می‌شود. میزان قدرت این برهمنش‌ها به صورت $|J_{AB}| > |J_{BB}| > |J_{AA}|$ می‌باشد. نتایج محاسبات مدل یافت-کیتل نشان داد که به ازای مقدار خاصی از J_{AB}/J_{BB} ، پیکربندی مثلثی غیرخطی گشتاورهای مغناطیسی، پایدارتر از ساختار خطی مدل نیل است. در این پیکربندی غیرخطی، گشتاور مغناطیسی جایگاه B نسبت به گشتاور جایگاه A به صورت مخالف دارای کج شدگی هستند و با زیادشدن نسبت J_{AB}/J_{BB} این کج شدگی اسپینی^۵ بیشتر می‌شود [۹]. زاویه‌ی انحراف هر دو گشتاور جایگاه B از راستای گشتاور جایگاه A، زاویه‌ی یافت-کیتل^۶ نامیده می‌شود. شکل ۱ چگونگی چهت‌گیری گشتاورهای مغناطیسی را در مدل نیل و مدل یافت-کیتل نشان می‌دهد.

فریت‌های اسپینلی دسته‌ای از مواد فرمغناطیس هستند که با دارا بودن مقاومت الکتریکی بالا و اتلاف جریان گردابی^۷ پایین، گزینه‌ای ایده‌آل برای کاربردهای مایکروویو می‌باشد [۳]. ساختار بلوری یک فریت اسپینلی با فرمول کلی $M^{2+}O.Fe^{3+}O_3^{2-}$ یون اکسیژن است که تعداد زیادی جایگاه‌های بین‌نشین چهار‌وجهی^۸ (A) و هشت‌وجهی^۹ (B) را ایجاد می‌کنند [۴-۶]. با توجه به جایگاه‌های بین‌نشین فرمول کلی یک فریت اسپینلی را می‌توان به صورت زیر بازنویسی کرد:



مطابق با مدل نظم خطی نیل^{۱۰}، گشتاورهای مغناطیسی اسپینی جایگاه‌های (A) و (B) یک فریت با وجود راستای تقریباً یکسان در جهت مخالف یکدیگر منظم شده‌اند که عدم توازن در قدرت گشتاورهای مغناطیسی زیر شبکه‌های (A) و (B) سبب ایجاد خاصیت مغناطیسی می‌شود. مطابق با مدل نیل، ویژگی‌های مغناطیسی یک فریت وابسته به نوع و چگونگی توزیع یون‌ها در مکان‌های (A) و (B) و قدرت نسبی برهمنش ابرتبدالی بین زیر شبکه‌ای (J_{AB}) است [۷].

^۴ Tetrahedral

^۵ Yafet and Kittle

^۶ Spin canting

^۷ Eddy current

^۸ Neel's model

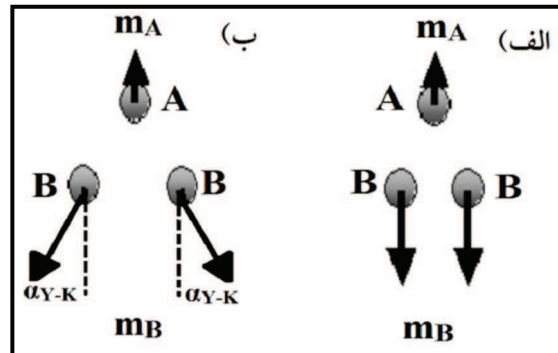
^۹ Octahedral



دلیل دارا بودن سه الکترون جفت نشده و جفت‌شدنگی اسپین-مدار (L-S) قوی، می‌توانند قدرت برهمکنش تبادلی A-B و ناهمسانگردی مگنتوبولوری را افزایش دهند [۱۴]. از طرف دیگر فریت‌های آلایش یافته با کیالت تلفات دی الکتریک کمی دارند و برای کاربردهای با فرکانس بالا مناسب هستند؛ زیرا کیالت به دلیل وادارندگی زیاد، مغناطش اشباع بالا، سختی مکانیکی خوب و پایداری شیمیایی مناسب است [۱۵].

تارچوک و همکاران نشان دادند که افزایش میزان آلایش کیالت در ترکیب $Zn_{1-x}Co_xFe_2O_4$ افزایش ناگهانی مغناطش پسماند و وادارندگی را در پی دارد. همچنین گاف انرژی با افزایش میزان کیالت کاهش می‌یابد [۱۶]. فاجر و همکاران نشان دادند که در فریت $NiZn$ آلایش کیالت بیشتر از 0.2 مول، سبب کاهش دو برابر فاکتور اتلاف شده است [۱۴]. بررسی ترکیب فریت $Zn_xNi_{1-x}Fe_2O_4$ نشان داد که آرایش کاتیون‌ها به صورت $(Zn_xFe_{1-x})[Ni_{1-x}Fe_{1+x}]O_4$ می‌باشد. همچنین همهٔ نمونه‌ها نظم مغناطیسی غیرخطی را نشان دادند که در آن‌ها زاویه‌ی بین گشتاورهای مغناطیسی جایگاه B (زاویه‌ی یافت کیتل) با افزایش Zn^{2+} افزایش می‌یابد [۱۷]. زیاوی و همکاران در یک تحقیق نشان دادند که در ترکیب $x=0.15$ آلایش $Ni_{0.7-x}Zn_{0.3}Co_xFe_2O_4$ سبب افزایش مغناطش اشباع می‌شود [۱۵].

در این پژوهش، اثر آلایش یون مغناطیسی Co^{2+} و جایگزینی آن با یون غیرمغناطیسی Mg^{2+} در ترکیب فریت $MgZn$ بررسی می‌شود. یون‌های Mg^{2+} و Zn^{2+} بدون گشتاور مغناطیسی هستند؛ این واقعیت بر برهمکنش غالب



شکل ۱- (الف) جهت‌گیری اسپین‌ها در مدل نیل (حالت خطی)، (ب) جهت‌گیری اسپین‌ها در مدل یافت-کیتل (حالت غیرخطی).

با وجود این که آلیازهای مغناطیسی بیشترین ضربیت نفوذپذیری مغناطیسی را دارند؛ اما به دلیل مقاومت الکتریکی پایین، استفاده از آن‌ها در میدان‌های الکترومغناطیسی با فرکانس‌های بالا امکان‌پذیر نیست. در چنین شرایطی، فریت‌ها تنها گزینه‌ی موجود در زمینه‌ی کاربردهای الکتروسرامیکی در فرکانس بالا می‌باشند. فریت $MgZn$ با مقاومت الکتریکی بالا، تلفات دی الکتریک کم و اتلاف ناچیز جریان‌های گردابی ناشی از انتشار امواج الکترومغناطیسی فرکانس بالا به طور گستردگی در دستگاه‌های مایکروویو به کار می‌رود [۱۰]. همچنین استفاده از آن در زمینه‌های حسگرهای گازی، فوتوكاتالیستی و بیوپزشکی توجه زیادی را به خود جلب کرده است [۱۳-۱۱].

از آنجایی که فریت‌های روی ($ZnFe_2O_4$) و منیزیم ($MgFe_2O_4$) به ترتیب دارای ساختارهای اسپینلی عادی ($\delta = 0$) و معکوس ($\delta = -\delta$) هستند، هر دو ماده غیر مغناطیسی می‌باشند. تحقیقات متعدد اثبات کرده‌اند که آلایش یون‌های فلزی می‌تواند خواص فریت‌ها را بهبود بخشد. در این میان استفاده از یون‌های کیالت (Co^{2+}) به



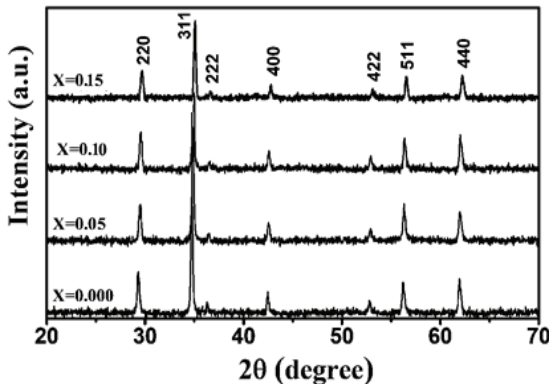
تهیه شده در دمای 700°C تکلیس شدند. به منظور بررسی رفتار مغناطودینامیکی، پودرها به کمک روش متالورژی پودر به صورت حلقه‌هایی با شعاع داخلی 7 mm و شعاع خارجی 90.0°C 14 mm پرس شدند و به مدت 4 ساعت در دمای 900°C مورد تفجوشی قرار گرفتند. برای اندازه‌گیری نفوذپذیری مغناطیسی حلقه‌های تفجوشی شده 20 دور سیم مسی نازک به دور حلقه‌ها پیچانده و دو سر سیم به دستگاه LCR meter متصل شد. در این حالت القاییدگی مغناطیسی حلقه‌های فریتی (L) توسط دستگاه اندازه‌گیری و ثبت می‌شدند. همچنین القاییدگی سیم پیچ بدون حلقه فریتی (L_0) از شدند. همچنین القاییدگی سیم پیچ بدون حلقه فریتی (L_0) از رابطه $N^2h\log(b/a) \times 10^{-9} = 4.6N^2h\log(b/a)$ محا سبه شد که در آن N تعداد دور سیمهای a ، h ضخامت، b قطر خارجی و a قطر داخلی سیمهای L_0 است. در نهایت نفوذپذیری (μ) نمونه‌ها با استفاده از رابطه $\mu = L/L_0$ بدست آمد.

مشخصه‌یابی‌های ساختاری بر روی پودرهای تولید شده به کمک دس-تگاههای پراش سنج پرتو ایکس XRD (PHILIPS-PW1730) با طول موج لامپ پرتو X برابر $1/540.5\text{ Å}$ آنگسترم در گستره زاویه‌ای $2\theta = 20-70$ درجه و FT-IR (Perkin Elmer-Spect) طیف سنجی مادون قرمز (400- 400 cm^{-1}) صورت گرفت. ویژگی‌های ریزساختاری نظری مورفولوژی و اندازه ذرات به کمک میکروسکوپ الکترونی FE-SEM (TESCAN-MIRA III) نشر میدان (EDAX) مجهز به میکروآنالیز شیمیایی (VSM) در دستگاه مغناطش‌سنج نمونه مرتعش (شرکت مغناطیس دقيق) در دمای اندازه‌گیری شد. نفوذپذیری مغناطیسی حلقه‌های تفجوشی شده توسط دستگاه مقاومت-

JL که نقش مهمتری در ساختار فریت بازی می‌کند تأثیر می‌گذارد و در نتیجه سیستم دارای انرژی ناهمسانگردی مغناطوبلوری کمتری خواهد بود. هنگامی که یک عنصر نظیر کیالت که دارای گشتاور مغناطیسی $3\mu\text{B}$ است به سیستم وارد می‌شود انتظار می‌رود قدرت برهمنکنش JL و درنتیجه ناهمسانگردی مغناطوبلوری سیستم را افزایش دهد. زیرا یون Co^{2+} درای سه الکترون جفت‌نشده و همچنین جفت‌شدنگی اسپین-مدار قوی‌تر می‌باشد [۱۸]. نمونه‌ها با استفاده از روش سل-ژل احتراقی تهیه شدند که به دلیل دارا بودن مزیت‌هایی نظیر تولید نانوساختارها با توزیع یکسان، کوتاه‌بودن زمان انجام واکنش، داشتن بازده بالا و ارزان بودن، یکی از روش‌های مناسب برای تولید نانومواد مغناطیسی است.

۲- فعالیت‌های تجربی

برای تهیه نانو پودرهای $\text{Mg}_{0.5-x}\text{Co}_x\text{Zn}_{0.5}\text{Fe}_2\text{O}_4$ (۰/۰۵، ۰/۱۰، ۰/۱۵، ۰/۲۰، ۰/۴۰، ۰/۵۰)، ابتدا نسبت‌های استوکیومتری مناسب از نیترات‌های فلزی به کمک همزن مغناطیسی درون مقدار کمی آب مقطار حل شدند. به محلول تهیه شده، سیتریک اسید به عنوان سوخت اضافه شد. نسبت مولی سیتریک اسید به نیترات‌های فلزی ۱:۱ انتخاب شد. محلول جدید به آرامی حرارات داده شد و به صورت همزمان با افزودن آمونیاک به صورت قطره قطره pH آن برابر ۷ قرار داده شد. پس از تبخیر آب، محلول تهیه شده به ژل تبدیل شد. ژل غلیظ به دست آمده در دمای مشخصی شروع به سوختن کرد. این مرحله که با آزاد سازی مقدار زیادی گاز و گرما همراه بود، تا جایی ادامه یافت که تمام ژل به پودری بسیار متخلخل و نرم به رنگ قهوه‌ای تبدیل شد. پودرهای



شکل ۲- الگوی پراش پرتو x نمونه‌های تهیه شده با مقادیر مختلف آلایش کیالت.

متوسط اندازه‌ی ریزبلورک‌ها مطابق با رابطه (۱) محاسبه شد.

$$D = k\lambda/\beta \cos(\theta) \quad (1)$$

که k عددی ثابت (در حدود $۰/۸۹$)، β پهنه‌ای نصف ارتفاع قله پراش، λ طول موج پرتو x تاییده شده و θ زاویه پراش است.

ظرفیت و القا سنج (LCR meter)، موجود در گروه مواد دانشگاه شهید چمران اهواز مورد ارزیابی قرار گرفت.

۳- نتایج و بحث

شکل ۲ الگوی پراش پرتو x نمونه‌های فریت MgZn آلایش یافته با مقادیر متفاوت کیالت را نشان می‌دهد. در شکل دیده می‌شود که نانوپودرهای تهیه شده دارای خطوط پراش کاملاً مشخص با صفحات پراش (۳۱۱ ، ۲۲۰ ، ۴۴۰ ، ۴۲۲ و ۵۱۱) هستند که با الگوی کارت استاندارد (#JCPDS-۲۳۴-۰۸) مطابقت کامل دارند. هیچ قله پراش اضافی مبنی بر حضور فاز ناخالصی در آن‌ها دیده نمی‌شود. بر این اساس نمونه‌ها دارای ساختار بلوری مکعبی مرکز سطحی اسپینلی هستند.

جدول ۱- اندازه‌ی ریزبلورک‌ها (D)، متسط اندازه ذرات (d)، ارتعاش کششی مکان (v_1 ، A)، ارتعاش کششی مکان (v_2 ، B) مغناطیش اشباع (M_s)، وزن مولکولی (M_w)، گشتاور مغناطیسی زیر شبکه (MA)، گشتاور مغناطیسی زیر شبکه (MB)، گشتاور مغناطیسی کل (nb)، زاویه یافت-کیتل (α_{Y-K}) و وادارندگی (Hc) نانوپودرهای تهیه شده.

X	۰/۰۰	۰/۰۵	۰/۱۰	۰/۱۵
D(nm)	۵۲	۳۹	۶۷	۳۶
d(nm)	۷۴	۴۷	۴۳	۹۶
v_1 (cm $^{-1}$)	۵۵۵/۹	۵۵۴/۳	۵۵۵/۱	۵۵۶/۶
v_2 (cm $^{-1}$)	۴۰۹/۸	۴۰۷/۲	۴۰۷/۰	۴۰۶/۱
M_s (emu/g)	۲۴/۹	۱۹/۹	۱۶/۵	۳۹/۶
M_w (g)	۲۲۰/۵۳	۲۲۱/۵۵	۲۲۳/۳۰	۲۲۴/۰۵
M_A (μ_B)	۲/۵۰	۲/۵۰	۲/۵۰	۲/۵۰
M_B (μ_B)	۷/۵۰	۷/۶۵	۷/۸۰	۷/۹۵
n_B (μ_B)	۰/۹۸۳	۰/۷۸۹	۰/۶۶	۱/۵۹
α_{Y-K}^0	۶۲/۳۴	۶۴/۵۱	۶۶/۰۹	۵۸/۹۶
H_c (Oe)	۲۵	۲۷	۳۲	۶۱



مقادیر U_2 است. در جدول ۱ مقادیر U_1 و U_2 ثبت شده اند. دیده می‌شود که باند U_2 کاهش کمی با مقدار x نشان می‌دهد که ناشی از اختلاف شعاع یونی Mg^{2+} و Co^{2+} (۸۶ nm) می‌باشد. با توجه به شکل ۳ وجود دره‌های U_1 و U_2 نشان‌دهنده ساختار اسپینلی نمونه‌های تهیه شده است.

شکل ۴ تصاویر FE-SEM مربوط به نانو پودر های $Mg_{0.5-x}Co_xZn_{0.5}Fe_2O_4$ برای مقادیر متفاوت آلایش کجالت ۱۵ را نشان می‌دهد.

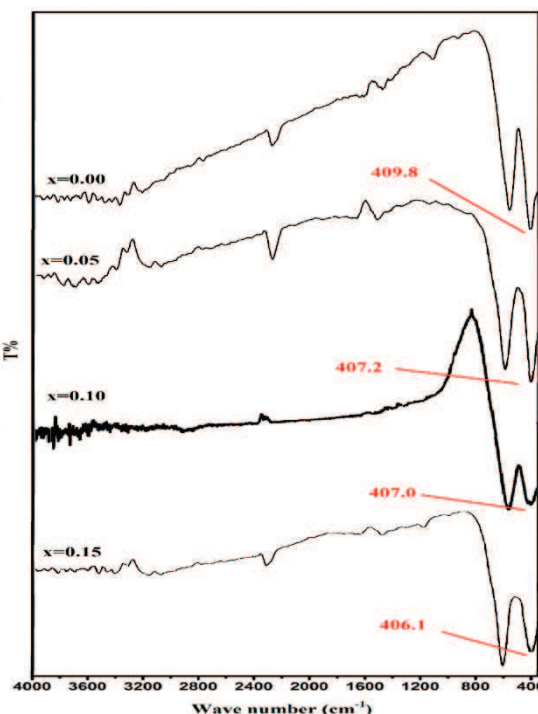
دیده می‌شود که مورفولوژی ذرات به دست آمده برای همه نمونه‌ها به جز نمونه‌ی با مقدار $x=0/15$ تقریباً یکسان است. میانگین اندازه ذرات پودرهای، با استفاده از نرم افزار Measurement بین ۹۶ تا ۱۵۶ نانومتر به دست آمد (جدول ۱). مقایسه اندازه ریزبلورک‌ها و اندازه ذرات به دست آمده نشان می‌دهد که در مجموع ذرات پودرهای به دست آمده تک بلور نیستند. همچنین ذرات مقداری بهم پیوستگی دارند که ممکن است ناشی از برههمکنش مغناطیستاتیکی آن‌ها باشد.

با توجه به میزان کم آلایش کجالت از نمونه‌ها آنالیز EDAX گرفته شد. نتایج شکل ۵ نشان می‌دهد که در نمونه‌ها اثری از مواد اولیه وجود ندارد. همچنین در شکل ۵ الف (نمونه بدون آلایش)، هیچ‌گونه ردی از عنصر کجالت دیده نمی‌شود. در سایر نمونه‌ها، میزان عنصر کجالت با افزایش آلایش بیشتر شده و در نمونه با $x=0/15$ به بیشترین مقدار خود می‌رسد.

شکل ۶ منحنی پسماند مغناطیسی نمونه‌ها را نشان می‌دهد. از شکل مشخص است که همه‌ی نمونه‌ها دارای ماهیت مغناطیسی نرم هستند. مقادیر مغناطش اشباع (M_s) در جدول ۱ ثبت شده است.

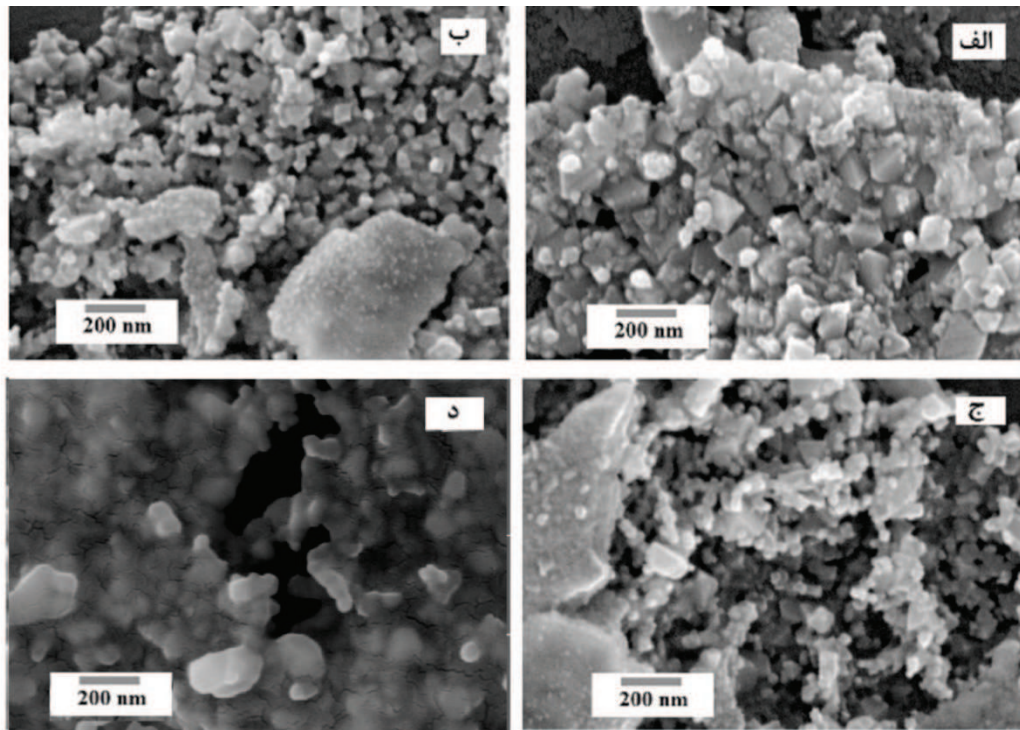
نتایج رابطه‌ی شر، ثبت شده در جدول ۱ نشان داد که اندازه ریزبلورک نمونه‌ها بین ۳۶ تا ۶۷ نانومتر می‌باشد.

شکل ۳ طیف‌سنجی مادون قرمز FT-IR نمونه‌های تهیه شده را در گسترده $4000-350\text{ cm}^{-1}$ نشان می‌دهد. به طور کلی طیف FT-IR فریت‌های اسپینلی دارای دو باند ارتعاش کششی اکسیژن- کاتیون فلزی است.

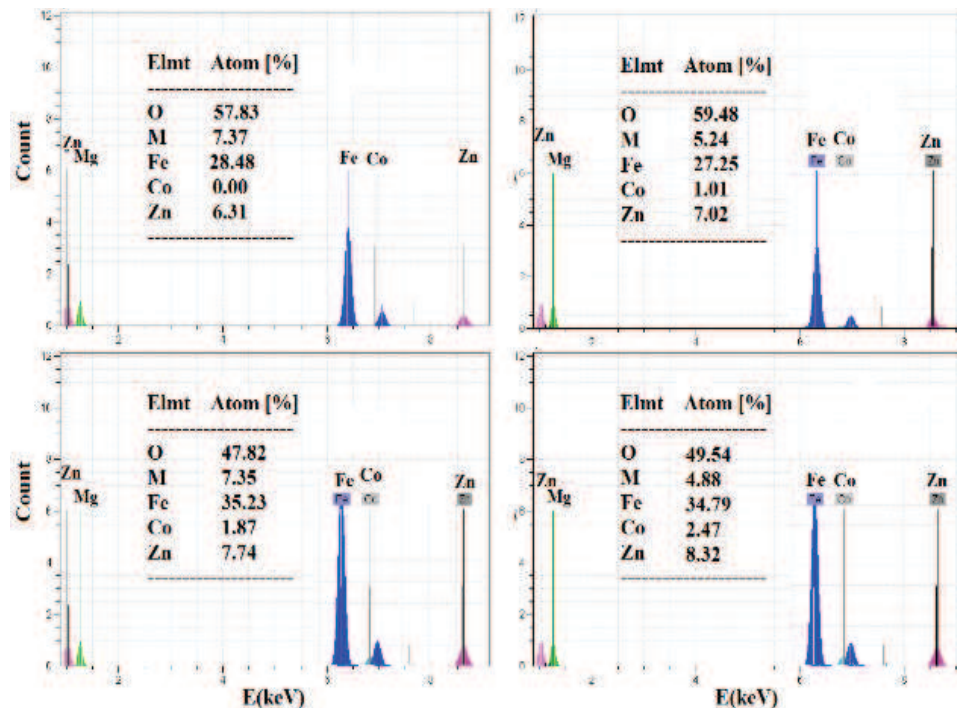


شکل ۳- طیف FT-IR برای نمونه‌های تهیه شده با مقادیر متفاوت آلایش کجالت x

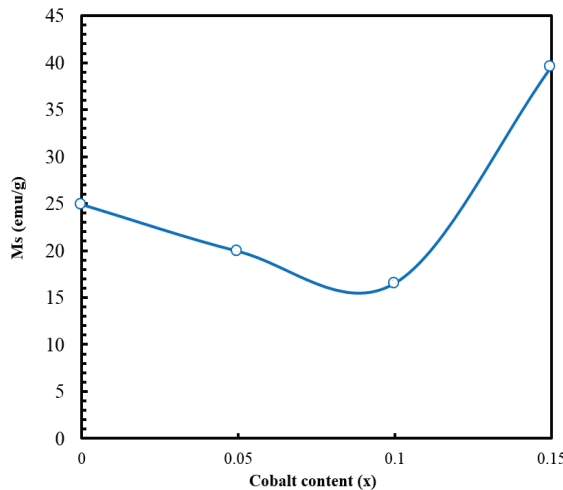
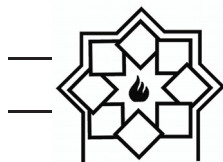
باند U_1 که در حدود 400 cm^{-1} رخ می‌دهد ارتعاش کششی پیوندی $Fe^{3+}-O^{2-}$ در جایگاه‌های چهاروجی A و باند U_2 که در حدود 400 cm^{-1} اتفاق می‌افتد ارتعاش کششی پیوندی $Fe^{3+}-O^{2-}$ در جایگاه‌های هشت‌وجهی را نشان می‌دهد. همانطور که انتظار می‌رود، بهدلیل طول پیوند کوتاه تر مکان‌های A نسبت به مکان‌های B مقادیر U_1 بزرگ‌تر از



شکل ۴- تصاویر SEM -FE نمونه‌های آلایش یافته با مقادیر (الف) ۰/۰/۰ (ب) ۰/۰/۵ (ج) ۰/۱۵ (د) ۰/۱۵/۰



شکل ۵- آنالیز EDAX نمونه‌ی آلایش یافته با مقدار (الف) ۰/۰/۰ (ب) ۰/۰/۵ (ج) ۰/۱۵ (د) ۰/۱۵/۰



شکل ۷- نمودار مغناطش اشباع نمونه‌های تهیه شده بر حسب میزان آلایش x

جدول ۲- توزیع کاتیونی پیشنهادی برای
 $(ZN_{0.5}Fe_{0.5})[Mg_{0.5-x}Co_xFe_{1.5}]O_4$
($x = 0/00, 0/05, 0/10, 0/15$)

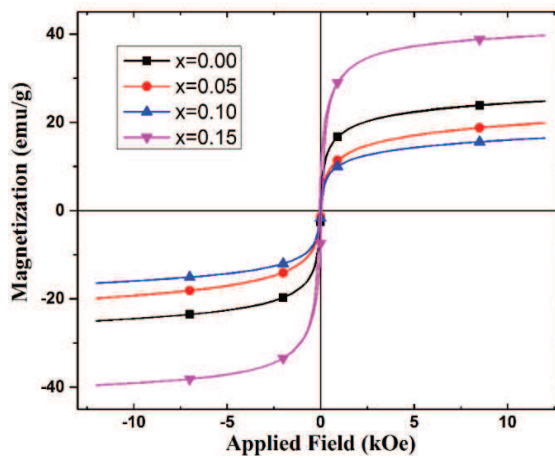
X	A site	B site
0.00	$Zn_{0.5}Fe_{0.5}$	$Mg_{0.5}Fe_{1.5}$
0.05	$Zn_{0.5}Fe_{0.5}$	$Mg_{0.45}Co_{0.05}Fe_{1.5}$
0.10	$Zn_{0.5}Fe_{0.5}$	$Mg_{0.40}Co_{0.10}Fe_{1.5}$
0.15	$Zn_{0.5}Fe_{0.5}$	$Mg_{0.35}Co_{0.15}Fe_{1.5}$

بر مبنای مدل یافت-کیتل، کج شدگی اسپینی مطابق با رابطه ۳ منجر به کاهش گشتاور مغناطیسی کل می‌گردد [۹] و [۲۱]:

$$n_B(\mu_B) = M_B \cos(\alpha_{Y-K}) - M_A \quad (3)$$

از طرف دیگر گشتاور مغناطیسی کل (n_B) به ازای یک واحد ترکیب شیمیایی فربت برابر است با [۲۳]:

$$n_B(\mu_B) = M_W * M_s / 5585 \quad (4)$$



شکل ۶- منحنی مغناطش نمونه‌ی آلایش یافته با مقادیر $x = 0/00, 0/05, 0/10, 0/15$ (الف) (ب) (ج) (د)

منحنی‌های پسماند نشان می‌دهد که مغناطش اشباع نمونه‌ها نسبت به میزان آلایش x رفتار خطی نشان نمی‌دهد. با افزایش مقدار آلایش x تا $0/10$ مغناطش اشباع (M_s) افزایش می‌یابد اما با افزایش x تا $0/15$ M_s افزایش یافته و به مقدار $39/6$ emu/g رسید. تغییرات مغناطش نمونه‌ها بر حسب میزان آلایش در شکل ۷ رسم شده است.

در فربت $Mg_{0.5-x}Co_xZn_{0.5}Fe_2O_4$ یون‌های بدون گشتاور مغناطیسی Zn^{2+} و Mg^{2+} ترجیح می‌دهند که به ترتیب در جایگاه‌های هشت‌وجهی و چهار‌وجهی قرار گیرند [۱۹-۲۱].

یون‌های Fe^{3+} می‌توانند هر دو جایگاه A و B قرار گیرند و یون‌های مغناطیسی Co^{2+} (با گشتاور مغناطیسی $+3\mu_B$) تمایل زیادی دارند که در جایگاه‌های هشت‌وجهی قرار گیرند [۲۲]. بر اساس اولویت یون‌های فلزی برای جایگاه‌های ۷ و ۲۲، بلوری محتمل ترین توزیع کاتیونی پیشنهادی به صورت زیر خواهد بود (جدول ۲).

$$(ZN_{0.5}Fe_{0.5})[Mg_{0.5-x}Co_xFe_{1.5}]O_4 \quad (2)$$



مقادیر وادرندگی (H_c) نمونه‌ها در جدول ۱ ثبت شده است. مقایسه آن‌ها نشان می‌دهد که H_c نمونه‌ها با افزایش میزان کبات در ترکیب روندی صعودی دارد. نتایج پژوهش‌های متعدد نشان داده است که فریت کبات به دلیل جفت‌شدگی قوی اسپین-مدار دارای ثابت ناهمسانگردی بلوری بالایی است [۲۴ و ۲۵]. از طرف دیگر مطابق با رابطه ۵ وادرندگی H_c نسبت مستقيمه با ثابت ناهمسانگردی دارد [۲۶]:

$$H_c = P_c K / M_s \quad (5)$$

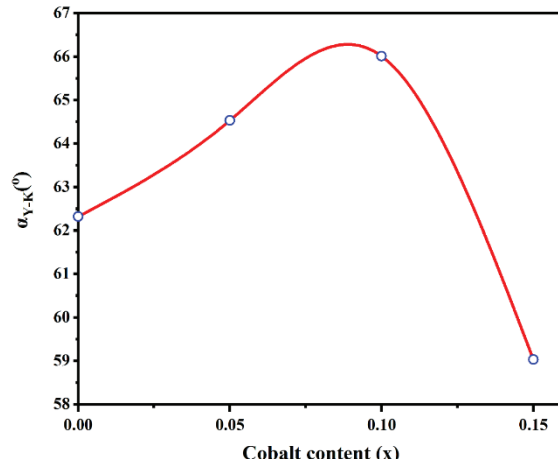
در رابطه‌ی بالا، K ثابت ناهمسانگردی، M_s مغناطش اشباع و P_c عددی ثابت در محدوده $۶۴/۰ - ۱۳/۰$ است. افزایش میزان کبات در ترکیب ثابت ناهمسانگردی افزایش و در نتیجه وادرندگی مغناطیسی با افزایش مواجه می‌شود.

شکل ۹ تصاویر SEM نمونه‌های تفجوشی شده را نشان می‌دهد. در تصویر "الف" (نمونه بدون آلایش) حفره‌های زیادی بین دانه‌ها وجود دارد و نمونه دارای تخلخل بالایی می‌باشد. تصویرهای "ب" و "ج" نشان می‌دهند که دانه‌ها تا حدودی به هم چسبیده‌اند که همین امر سبب کاهش تعداد حفره‌ها شده است. در تصویر "د" دیده می‌شود که نمونه دارای مورفولوژی همگن‌تری است و در آن تعداد حفره‌ها کمتر شده است. با توجه به رشد کم دانه‌ها، وجود حفره‌ها و عدم وجود مرزدانه‌های مشخص در تصاویر SEM می‌توان نتیجه گرفت که نمونه‌ها در مراحل آغازین فرآیند تفجوشی قرار دارند؛ که این امر می‌تواند ناشی از دمای پایین تفجوشی نمونه‌ها (۹۰°C) باشد.

شکل ۱۰ تغییرات نفوذپذیری حلقه‌های تفجوشی شده را بر حسب بسامد میدان الکترومغناطیسی اعمالی در بازه‌ی $۱\text{ MHz} - ۱\text{ kHz}$ را نشان می‌دهد.

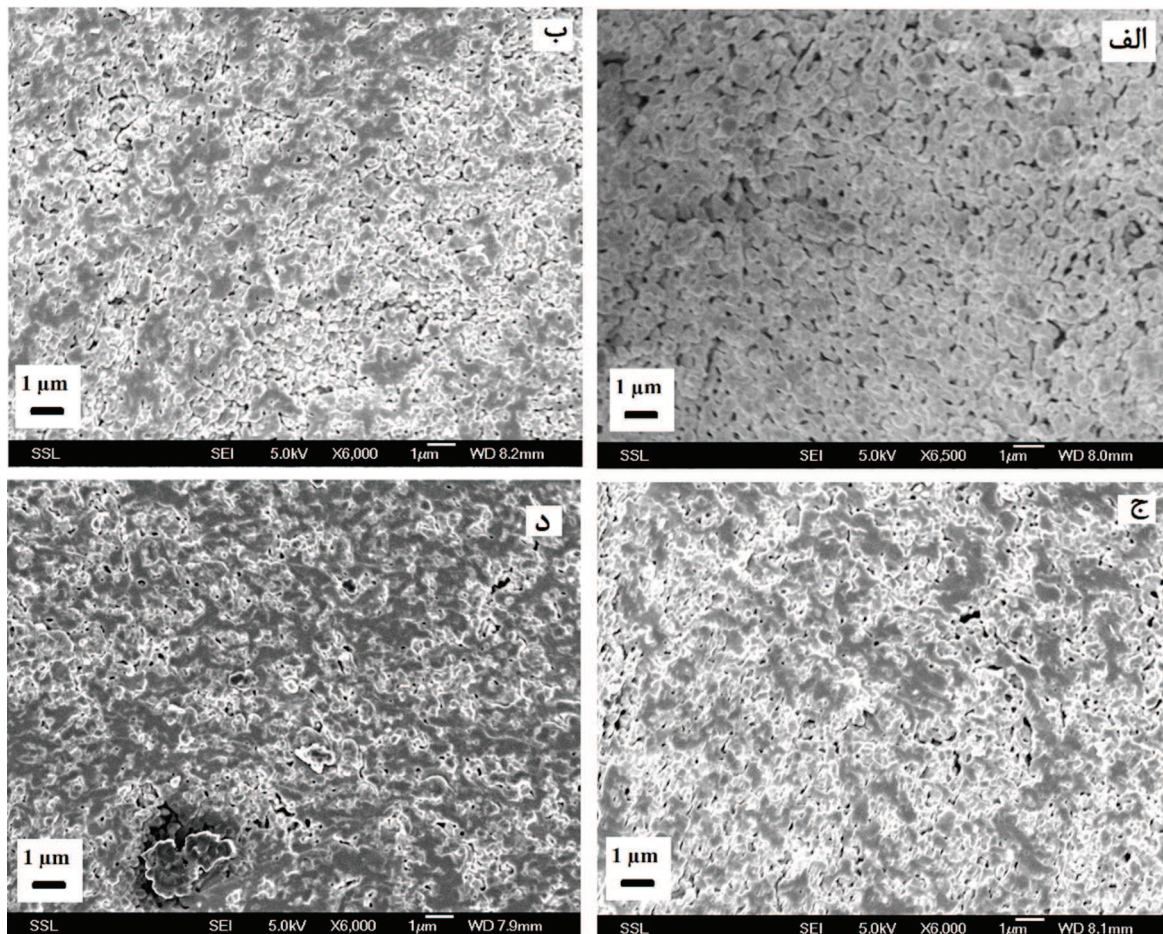
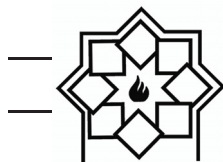
در روابط بالا، n_B تعداد گشتاورهای مغناطیسی فریت، M_A M_B گشتاورهای زیر شبکه‌های (A) و (B)، زاویه α_{Y-K} میزان کج شدگی اسپینی، M_s مغناطش اشباع و M_w وزن مولکولی یک واحد ترکیب است (جدول ۱).

مقادیر محاسبه شده n_B و α_{Y-K} با جایگذاری مقادیر گشتاور مخنا طیسی یون‌های $\text{Zn}^{2+}(0 \mu_B)$, $\text{Mg}^{2+}(0 \mu_B)$, $\text{Co}^{2+}(3 \mu_B)$ و $\text{Fe}^{3+}(5 \mu_B)$ در جدول ۱ ثبت شده است. همچنین نمودار تغییرات زاویه‌ی α_{Y-K} در شکل ۸ ترسیم شده است.

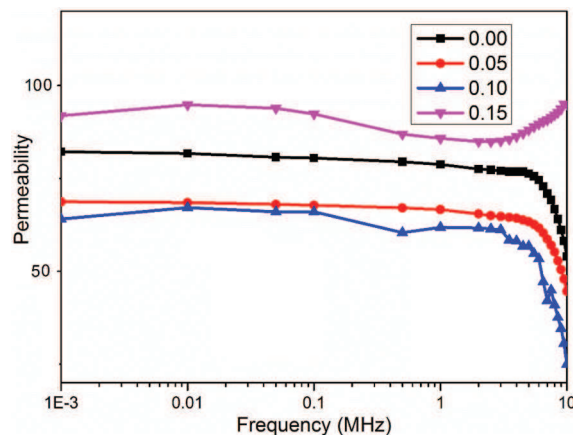


شکل ۸- نمودار زاویه یافته-کیتل نمونه‌های تهیه شده بر حسب آلایش x .

نتایج نشان می‌دهند که زاویه α_{Y-K} با افزایش مقدار آلایش از $۰/۰$ تا $۰/۱۰$ از $x=۰/۰۹$ تا $۰/۳۴$ افزایش می‌یابد و پس از آن با افزایش میزان آلایش به $x=۰/۱۵$ به $۰/۹۶$ کاهش می‌یابد. این نشان می‌دهد که کمترین مقدار زاویه α_{Y-K} برابر با $۰/۹۶$ و در عین حال بیشترین مقدار مغناطش اشباع برابر با $۳۹/۶ \text{ emu/g}$ مربوط به نمونه‌ی با $x=۰/۱۵$ است.



شکل ۹- تصویر SEM نمونه‌های تف جوشی شده با مقادیر آالایش یافته (الف) $x=0.05$ (ب) $x=0.10$ (ج) $x=0.15$ (د) $x=0.20$



شکل ۱۰- تغییرات نفوذپذیری نمونه‌ها بر حسب فرکانس با مقادیر متغیر آالایش

با توجه به اینکه نفوذپذیری با مربع مغناطش اشعاع رابطه

از شکل مشخص است که همهی نمونه‌ها، تا بسامد در حدود ۴ MHz دارای نفوذپذیری مغناطیسی تقریباً ثابت و پایدار هستند.

در این محدوده نفوذپذیری مغناطیسی با افزایش مقدار کبات ابتدا کاهش و سپس افزایش یافته است. بر مبنای مدل گلوبس (Globus) نفوذپذیری (اولیه) مغناطیسی در فریت‌ها از رابطه زیر تبعیت می‌کند [۲۶]:

$$\mu_i \approx \frac{3M_s^2 D}{16\gamma_w} \quad (6)$$

که در رابطه بالا، D اندازه متوسط دانه، M_s مغناطش اشعاع و γ_w انرژی دیواره حوزه‌های مغناطیسی است.



مغناطواستاتیکی نانوپودرها مورد بررسی قرار گرفت. الگوی پراش پرتو X نشان داد که نمونه‌ها کاملاً خالص هستند و هیچ‌گونه فاز اضافی در آن‌ها وجود ندارد. تصاویر FE-SEM نشان دادند که میانگین اندازه‌ی ذرات در حدود ۴۳-۹۶ nm است. با توجه به منحنی مغناطش نمونه‌ها مشاهده شد که جاذشینی منیزیم تو سط کاتیون‌های کیالت سبب تغییر مغناطش اشباع و وادارندگی مغناطیسی می‌شوند. مغناطش اشباع در نمونه‌ی $x = 0/10$ به مقدار کمینه می‌رسد و پس از آن با افزایش مقدار کیالت به $x = 0/15$ افزایش می‌یابد. همچنین زاویه‌ی انحراف یافت — کیتل در نمونه‌ی $x = 0/15$ کمترین مقدار است. برخلاف مغناطش اشباع، وادارندگی مغناطیسی با افزایش میزان کیالت در ترکیب به صورت پیوسته افزایش می‌یابد. همچنین نفوذپذیری نمونه‌های تفجوشی شده نشان داد که در زیر ۴ MHz نمونه‌ی با $x = 0/15$ دارای بیشترین مقدار نفوذپذیری است.

مراجع

- [1] M. Faraji, Y. Yamini and M. Rezaee, "Magnetic Nanoparticles: Synthesis, Stabilization, Characterization, Functionalization and Applications", Journal of Iranian Chemistry Society, Vol. 7, No. 1, 2010, pp. 1-37.
- [2] R.Y. Hong, S.Z. Zhang, G.Q. Di, H.Z. Li, Y. Zheng, J. Ding, D.G. Wei, "Preparation, characterization and application of Fe₃O₄/ZnO core/shell magnetic nanoparticles", Materials Research Bulletin Vol 43, 2008, pp 2457-2468.
- [3] U.R. Ghodake, R.C. Kambale, S.S. Suryavanshi, Effect of Mn²⁺ substitution on structural, electrical transport and dielectric properties of Mg-Zn ferrites, Ceramics International. Vol 43, 2017, pp 119-1134.

مستقیم دارد، تغییرات آن به شدت متأثر از تغییر در مغناطش اشباع است. با توجه به شکل‌های ۷ و ۱۰، روند مشابهی در تغییرات مغناطش اشباع با غلظت یون‌های کیالت مشاهده می‌شود.

در بسامدهای بالاتر از ۴ MHz، برای همه نمونه‌ها نفوذ پذیری مغناطیسی از حالت پایدار خود خارج شده است و به دلیل پدیده‌ی تشدد نفوذپذیری به سرعت کاهش می‌یابد. کاهش در نفوذ پذیری مغناطیسی معرف فعال شدن سازوکارهای تلفات الکترومغناطیس است؛ زیرا با افزایش بسامد، برخی سازوکارهای مغناطش قادر به دنبال نمودن میدان اعمالی نیستند، به همین دلیل حالت تشدد یک کاهش ناگهانی در طیف نفوذپذیری مغناطیسی ایجاد می‌گردد که در بسامدهای پایین (در محدوده مگاهرتز) به سازوکارهای مغناطش مرتبط با تحرک دیواره حوزه‌های مغناطیسی مربوط می‌شود [۲۷]. معمولاً قبل از اینکه نفوذپذیری سریعاً کاهش یابد ابتدا به یک مقدار بیشینه می‌رسد و سپس روند کاهشی آن آغاز می‌شود. افزایش نفوذپذیری مغناطیسی در نمونه‌های آلاییده شده با $x = 0/15$ از ۰/۱۵ محسوس نیست، اما این امر در نمونه با $x = 0/15$ دیده می‌شود. این نشان می‌دهد که پدیده‌ی تشدد مغناطیسی و کاهش نفوذپذیری در این نمونه در بسامدهایی بیش از ۱۰ MHz به وقوع خواهد رسید که خارج از بازه‌ی بسامدی دستگاه مورد استفاده است.

۴- نتیجه‌گیری

در این پژوهش با استفاده از روش سل - ژل احتراقی، نانوپودرها فریت MgZn آلایش یافته با مقادیر مختلف کیالت تهیه شدند. ویژگی‌های ساختاری، ریزساختاری،



- Suryavanshi, Effect of Mn²⁺ substitution on structural, electrical transport and dielectric properties of Mg-Zn ferrites, Ceramics International, Vol 43, 2017, pp 119–1134.
- [11] X.F. Chu, X.Q. Liu, G.Y. Meng, “Photocatalytic properties and optical absorption of zinc ferrite nanometer films”, Sensor and Actuators B, Vol. 55, 1999, pp. 19.
- [12] J. Qiu, C. Wang, M. Gu, “Photocatalytic properties and optical absorption of zinc ferrite nanometer films”, Materials Science and Engineering: B, Vol. 112, 2004, pp. 1-4 .
- [13] J. Wan, X. Jiang, H. Li, K. Chen, “Facile Synthesis of Zinc Ferrite nanoparticles as non-lanthanide T1 MRI contrast agents”, Journal of Material Chemistry, Vol. 22, 2012, pp. 13500-13505.
- [14] G.Frajer, O.Isnard, H.Chazal, G.Delette, Effect of cobalt addition on the magneto-crystalline anisotropy parameter of sintered NiZn ferrites evaluated from magnetization curves, Journal of Magnetism and Magnetic Materials, Vol 473, 2019, pp 92-98.
- [15] Xiao-Hui Wu, Zheng-Xiong Tao, Le-Zhong Li, Chong-Sheng Wu, Xiao-Xi Zhong, Rui Wang, Peng-Cheng Xiang, Ke-Lin Li, Nan Lin, Crystal structure and enhanced magneto-electric properties of cobalt-substituted nickel-zinc ferrite, Journal of Materials Science: Materials in Electronics vol 31, 2020, pp 20277–20284.
- [16] T.R.Tatarchuk, N.D.Paliychuk, M.Bououdin, B.Al-Najar, M.Pacia, W.Macyk, A.Shyichuk, “Effect of cobalt substitution on structural, elastic, magnetic and optical properties of zinc ferrite nanoparticles”, Journal of Alloys and Compounds Vol 731, pp 1256-1266, 2018.
- [17] N. S. Satya Murthy, M. G. Natera, S. I. Youssef, R. J. Begum, C. M. Srivastava; "Yafet-Kittel Angles in Zinc-Nickel Ferrites"; Physical Review Letters, Vol [4] A. Lopez-Ortega, E. Lottini, C. de Julian Fernandez, C. Sangregorio, Exploring the magnetic properties of cobalt ferrite nanoparticles for the development of a rare earth free permanent magnet, Chemistry of Materials, Vol 27, 2015, pp 4048–4056.
- [5] A.L. Tiano, G.C. Papaefthymiou, C.S. Lewis, J. Han, C. Zhang, Q. Li, C. Shi,A.M.M. Abeykoon, S.J.L. Billinge, E. Stach, J. Thomas, K. Guerrero, P. Munacyo,R.B. Scorzelli, P. Burnham, A.J. Viescas, S.S. Wong, Correlating size and composition dependent effects with magnetic, mossbauer, and pair distribution function measurements in a family of catalytically active ferrite nanoparticles, Chemistry of Materials Vol 27, 2015), pp 72–3592.
- [6] K.K. Bharathi, G. Markandeyulu, C.V. Ramana, Structural, magnetic, electrical and magnetoelectric properties of Sm and Ho-substituted nickel ferrites, The Journal of Physical Chemistry C, Vol 115, 2011, pp 554 –560.
- [7] Priya Jadoun, Jyoti Sharma, Sudhish Kumar, S.N. Dolia, Deepak Bhatnagar, V.K. Saxena Structural and magnetic behavior of nanocrystalline Cr doped Co-Mg ferrite, Ceramics International, Vol 44, 2018, pp 6747–6753.
- [8] Sonal Singhal, Sheenu Jauhar, Jagdish Singh, Kailash Chandra, Sandeep Bansal, Investigation of structural, magnetic, electrical and optical properties of chromium substituted cobalt ferrites ($\text{CoCr}_x\text{Fe}_{2-x}\text{O}_4$, $0 \leq x \leq 1$) synthesized using sol gel auto combustion method Journal of Molecular Structure, Vol, 1012, 2012, pp 182–188.
- [9] D.S. Nikam, S.V. Jadhav, V.M. Khot, R.A. Bohara, C.K. Hong, S.S. Mali, S.H. Pawar, Cation distribution, structural, morphological and magnetic properties of $\text{Co}_{1-x}\text{Zn}_x\text{Fe}_2\text{O}_4$ ($x=0-1$) nanoparticles, RSC Advances. Vol 5, 2015, pp 2338–2345.
- [10] U.R. Ghodake, R.C. Kambale, S.S.



- C. K. Ong, The effect of non-magnetic Al^{3+} ions on the structure and electromagnetic properties of MgCuZn ferrite, *Journal of Magnetism and magneric maerials*, Vol. 371, 2014, pp. 29-33.
- [25] L. Kumar, M. Kar, Effect of Ho^{3+} substitution on the cation distribution, crystal structure and magneto crystalline anisotropy of nanocrystalline cobalt ferrite, *Journal of Experimental Nanoscience*, Vol 9, 2014, pp. 362-366.
- [26] T.D. Shen, R.B. Schwarz, J.D. Thompson, "Soft magnetism in mechanically alloyed nanocrystalline materials", *Physical Reviewe B*. Vol. 72, pp. 014431-014438, 2005.
- [27] R. Valenzuela, "Magnetic Ceramics", Cambridge University Press, Cambridge, 2005.
- 81, 1969, pp 969.
- [18] Muhammad Amir Rafiq, Muhammad Azhar Khan, M. Asghar, S. Z. Ilyasb Imran, Shakir, Muhammad Shahid, Muhammad Farooq Warsi, Influence of Co^{2+} on structural and electromagnetic properties of Mg-Zn nanocrystals synthesized via co-precipitation route *Ceramics International* Vol 41, 2015, pp 10501-10505.
- [19] G. Kumar, J. Shah, R.K. Kotnala, P. Dhiman, R. Rani, V.P. Singh, G. Garg, S.E. Shirsath, K.M. Batoo, M. Singh, Self-ignited synthesis of Mg-Gd-Mn nanoferrites and impact of cation distribution on the dielectric properties, *Ceramics International*, Vol 40 2014, pp 14509–14516.
- [20] M. M. Hessien, M.M. Rashad, K. El-Barawy, I.A. Ibrahim, Influence of manganese substitution and annealing temperature on the formation, microstructure and magnetic properties of Mn-Zn ferrites, *Journal of Magnetism and Magnetic Materials*, Vol 320, 2008, 1615–1621.
- [21] Rohit Sharma, Prashant Thakur, Manoj Kumar, P.B. Barman, Pankaj Sharma, Vineet Sharma, Enhancement in A-B super-exchange interaction with Mn^{2+} substitution in Mg-Zn ferrites as a heating source in hyperthermia applications, *Ceramics International*, Vol 43, 2017, Pp 13661-13669.
- [22] Erum Pervaiz, I.H. Gul, Enhancement of electrical properties due to Cr^{3+} substitution in Co-ferrite nanoparticles synthesized by two chemical techniques, *Journal of Magnetism and Magnetic Materials*, Vol 324, 2012, 3695–3703.
- [23] G. Kumar, R.K. Kotnala, J. Shah, V. Kumar, A. Kumar, P. Dhiman, M. Singh, Cation distribution: a key to ascertain the magnetic interactions in a cobalt substituted MgMn nanoferrite matrix, *Physical Chemistry Chemical Physics*, Vol 19, 2017, pp 16669-16680.
- [24] H. Bahiraei, M. Shoushtari, K. Gheisari,

Effect of Cobalt on Structural, Microstructural and Magnetic Properties of Magnesium-Zinc Ferrite Nanoparticles

Masoumeh Ghaderi¹, Hamed Bahiraei^{1*}, Khalil Gheisari²

¹ Department of Physics, Faculty of Science, Malayer University, Malayer, Iran

² Department of Materials Science and Engineering, Faculty of Engineering, Shahid Chamran University of Ahvaz, Ahvaz, Iran

* hamedbahiraei@gmail.com

Abstract: $Mg_{0.5-x}Co_xZnFe_2O_4$ ferrite nanostructures with various amounts of Co^{2+} substitution ($x= 0, 0.05, 0.10, 0.15$) were prepared using a simple and inexpensive sol-gel method sol-gel route. Structural, microstructural and magnetic properties of the prepared powders were investigated by x-ray diffraction (XRD), Fourier transform infrared (FT-IR), field emission- scanning electron microscopy (FE-SEM), X-ray energy diffraction spectroscopy (EDAX) and vibrating sample magnetometer (VSM). The x-ray diffraction patterns showed that the prepared nanopowders have pure spinel structure without any other impurity phases. The average particle size of the powders was between 96-43 nm, using electron microscope images. Magneto-static analysis showed that the presence of cobalt ions has affected the saturation magnetization (M_s) and the coercivity (H_c). The M_s values decrease and then increase with increasing dopant (x). The lowest and highest values of M_s are related to $x= 0.10$ (16.5 emu/g) and 0.15 (39.6 emu/g), respectively. Based on this, the calculated Yafet-Kittel angle ($Y-K\alpha$) showed that the highest spin canting belongs to the sample with $x= 0.10$. Also, the value of H_c increases with x due to the high crystalline anisotropy of cobalt.

Keywords: Nanostructure, Sol-gel, ferrite, Saturation magnetism, Coercivity, Yafet-Kittel Model.